



让定量美如星空
GenStar qPCR 系列产品



北京康润诚业生物科技有限公司

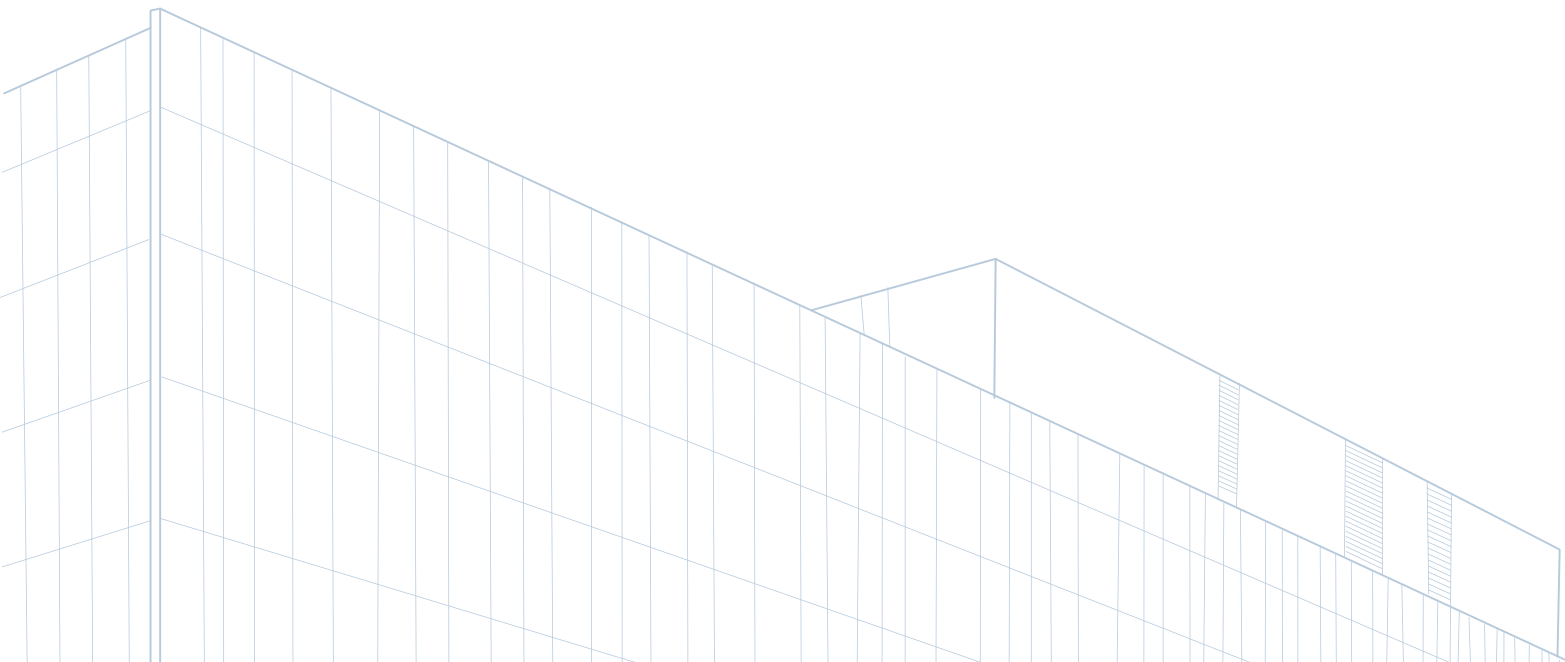


北京康润诚业生物科技有限公司（GenStar）总部位于北京，在江苏太仓设立主要生产基地。自成立十余年以来，一直深耕于分子生物学上游核心原料领域，是国内领先的兼具研发和工业化生产能力的国家高新技术企业。GenStar 产品线覆盖核酸分离纯化、扩增、克隆、蛋白质检测和纯化以及细胞生物学检测等多个系列千余种产品，并向下游应用拓展开发了各类科研用检测试剂盒，如动物疫病检测试剂盒、食品安全检测试剂盒等。目前产品的 SCI 论文引用总数已达千余篇。

康润生物拥有覆盖全国的直销和渠道销售体系，与超过两千个科研院所课题组和数百家包括生物制药、基因治疗、CXO、动物疫病检测、分子诊断、检测服务在内的工业客户长期合作。

GenStar 专业的团队、优质的产品、丰富的经验、悉心的服务，就在您的身边。

康润生物 伴您生命科学成功之路



qPCR 全称荧光定量 PCR (Quantitation PCR)，是非常重要的分子生物学实验技术。其原理是在反应体系中加入荧光基团，通过监测荧光信号的变化，记录检测荧光达到阈值时的扩增循环数 (Ct 值)。起始模板量和 Ct 值密切相关，通过 Ct 值和标准曲线对未知模板进行定量分析。

GenStar qPCR 产品包括染料法和探针法两大类，满足客户不同应用需求。

染料法		探针法
荧光分子	SYBR Green I	荧光报告基团
原理	SYBR Green I 与双链 DNA 结合，从而发出荧光。PCR 扩增中，荧光信号值随扩增产物量的增加而呈比例增加	探针两端分别标记一个荧光报告基团和一个荧光淬灭基团。PCR 扩增时，Taq 酶的 5' - 3' 外切酶活性将探针酶切降解，报告基团和淬灭基团分离，从而发出荧光，实现了荧光信号的累积与 PCR 产物形成完全同步
特点	特异性	SYBR Green I 结合体系中的所有双链 DNA，非特异性扩增或引物二聚体会影响结果准确性
	应用	单重 qPCR
	成本	较低
		荧光探针特异性结合目标序列，理论上荧光信号的积累只来源于目标序列，特异性更强，准确性更高
		单重 qPCR、多重 qPCR
		较高



目录

CONTENTS

01 / 染料法 qPCR P02

Fast qPCR Mix (染料法)
Power qPCR Mix (染料法)

02 / 探针法 qPCR P06

Fast qPCR Mix (探针法)
Power qPCR Mix (探针法)
多重 qPCR Mix (探针法)
甲基化 qPCR Mix (探针法)

03 / 一步法 qRT-PCR P10

一步法 qRT-PCR
多重一步法 qRT-PCR

04 / qPCR 配套 P13

附录：代表性文献 (近 5 年, IF \geq 10) P14

GenStar qPCR 系列产品仪器兼容性表格

检测方法	产品名称	试剂类型	货号	参比荧光	Applied Biosystems		MJ Research	Stratagene	Qiagen		Bio-Rad	Roche	Eppendorf
					7000,7300,7700,7900,7900HT,StepOne ⁺ ,StepOne Plus ²	7500,7500Fast,Viia7,QuantStudio3,5,6,7			Corbett Rotor-Gene3000	Corbett Rotor-Gene6000/G/Q			
常规 qPCR	2 x RealStar Fast SYBR qPCR Mix	抗体修饰型	A301	ROX Free				●			●		●
			A303	High ROX		●							●
	A304	Low ROX				●							
	A302	ROX Free					●			●			●
	A302LD	High ROX & Low ROX			●			●		●			●
	A308	通用				●		●		●			●
	A401	High ROX & Low ROX			●			●		●			●
	A402	High ROX & Low ROX			●			●		●			●
	A311	ROX Free						●					●
	A313	High ROX				●							●
	A314	Low ROX					●						●
	A312	ROX Free						●					●
	A333	ROX Free						●					●
	qRT-PCR	StarScript III One-Step qRT-PCR SYBR Kit	抗体修饰型	A333	ROX Free				●				
StarScript III One-Step qRT-PCR SYBR Kit (UNG)		抗体修饰型	A336	ROX Free				●					●
常规 qPCR	2 x RealStar Fast Probe Mix	抗体修饰型	A351	ROX Free				●					●
	2 x RealStar Fast Probe Mix (UNG)	抗体修饰型	A352	ROX Free				●					●
	2 x RealStar Power Probe Mix	化学修饰型	A361	ROX Free				●					●
	2 x RealStar Power Probe Mix (UNG)	化学修饰型	A362	ROX Free				●					●
	2 x Multiplex Fast Probe Mix (UNG)	抗体修饰型	A392	ROX Free				●					●
	2 x Taq Pro Multiplex Probe Mix (UNG, Low DNA)	抗体修饰型	A394LD	ROX Free				●					●
多重 qPCR	2 x RealStar MethylLight qPCR Mix	抗体修饰型	A371	ROX Free				●					●
	StarScript III One-Step qRT-PCR Probe Kit	抗体修饰型	A334	ROX Free				●					●
染料法	StarScript III One-Step qRT-PCR Probe Kit (UNG)	抗体修饰型	A338	ROX Free				●					●
	2 x Multiplex One-Step qRT-PCR Probe Mix (UNG)	抗体修饰型	A382	ROX Free				●					●
多重 qRT-PCR	5 x Multiplex One-Step qRT-PCR Probe SuperMix (UNG)	抗体修饰型	A383	ROX Free				●					●
	Multiplex One-Step qRT-PCR Probe Kit (UNG)	抗体修饰型	A388	ROX Free				●					●

*如果需要ROX请致电GenStar单独赠送

01 / 染料法 qPCR

染料法 qPCR 采用 DNA 染料 SYBR Green I, 使用简单, 成本较低。

Fast qPCR Mix (染料法)

产品名称	货号	规格	目录价 (¥)	特点
2×RealStar Fast SYBR qPCR Mix 2×RealStar Fast 染料法 qPCR 预混液	A301-01	1.1 ml	188	<ul style="list-style-type: none"> 抗体修饰热启动 DNA 聚合酶, 灵敏度高, 适合低拷贝基因 UNG 防污染 抗体修饰热启动 DNA 聚合酶, 灵敏度高, 适合低拷贝基因 UNG 防污染, 低背景 高度纯化、抗干扰的热启动 DNA 聚合酶特异性强、灵敏度高 含通用 ROX 抗体修饰热启动 DNA 聚合酶, 灵敏度高 升级版 SYBR Green I qPCR 预混液 抗体修饰热启动 Taq 聚合酶, 扩增快、灵敏度高、特异性强 优化的 Buffer, 对不同 GC 含量基因扩增效率高 UNG 防污染 升级版 SYBR Green I qPCR 预混液 抗体修饰热启动 Taq 聚合酶, 灵敏度高、特异性强 优化的 Buffer, 对不同 GC 含量基因扩增效率高
	A301-05	1.1 ml×5	799	
	A301-10	1.1 ml×10	1508	
2×RealStar Fast SYBR qPCR Mix (High ROX) 2×RealStar Fast 染料法 qPCR 预混液 (High ROX)	A303-01	1.1 ml	188	
	A303-05	1.1 ml×5	799	
	A303-10	1.1 ml×10	1508	
2×RealStar Fast SYBR qPCR Mix (Low ROX) 2×RealStar Fast 染料法 qPCR 预混液 (Low ROX)	A304-01	1.1 ml	188	
	A304-05	1.1 ml×5	799	
	A304-10	1.1 ml×10	1508	
2×RealStar Fast SYBR qPCR Mix (UNG) 2×RealStar Fast 染料法 qPCR 预混液 (UNG)	A302-01	1.1 ml	343	
	A302-05	1.1 ml×5	1544	
	A302-10	1.1 ml×10	2742	
2×RealStar Fast SYBR qPCR Mix (UNG, Low DNA) 2×RealStar Fast 染料法 qPCR 预混液 (UNG, 低背景)	A302LD-01	1.1 ml	343	
	A302LD-05	1.1 ml×5	1544	
	A302LD-10	1.1 ml×10	2742	
2×RealStar Universal SYBR qPCR Mix 2×RealStar 通用染料法 qPCR 预混液	A308-01	1.1 ml	198	
	A308-05	1.1 ml×5	798	
	A308-10	1.1 ml×10	1498	
2×RealStar Fast pro SYBR qPCR Mix 2×RealStar Fast pro 染料法 qPCR 预混液	A401-01	1.1 ml	198	
	A401-05	1.1 ml×5	868	
	A401-10	1.1 ml×10	1598	
2×RealStar Fast pro SYBR qPCR Mix (UNG) 2×RealStar Fast pro 染料法 qPCR 预混液 (UNG)	A402-01	1.1 ml	368	
	A402-05	1.1 ml×5	1598	
	A402-10	1.1 ml×10	2838	

Power qPCR Mix (染料法)

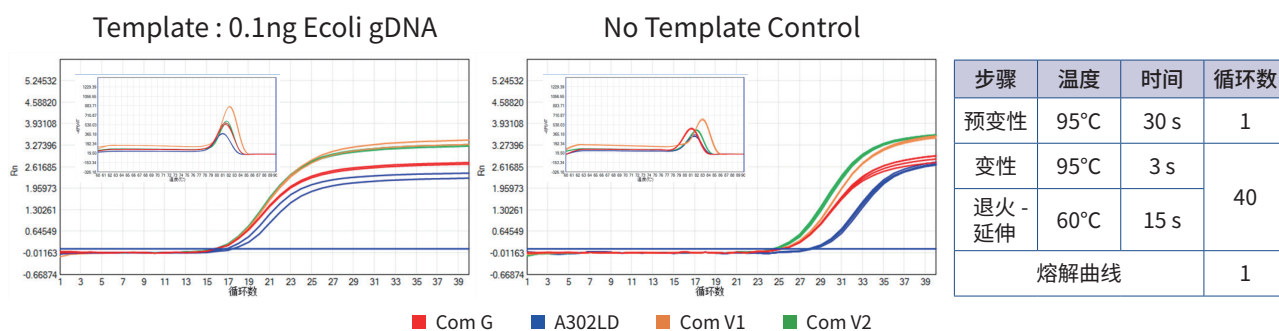
产品名称	货号	规格	目录价 (¥)	特点
2×RealStar Power SYBR qPCR Mix 2×RealStar Power 染料法 qPCR 预混液	A311-01	1.1 ml	188	<ul style="list-style-type: none"> 化学修饰热启动 DNA 聚合酶, 特异性更强 UNG 防污染 化学修饰热启动 DNA 聚合酶, 特异性更强
	A311-05	1.1 ml×5	799	
	A311-10	1.1 ml×10	1508	
2×RealStar Power SYBR qPCR Mix (High ROX) 2×RealStar Power 染料法 qPCR 预混液 (High ROX)	A313-01	1.1 ml	188	
	A313-05	1.1 ml×5	799	
	A313-10	1.1 ml×10	1508	
2×RealStar Power SYBR qPCR Mix (Low ROX) 2×RealStar Power 染料法 qPCR 预混液 (Low ROX)	A314-01	1.1 ml	188	
	A314-05	1.1 ml×5	799	
	A314-10	1.1 ml×10	1508	
2×RealStar Power SYBR qPCR Mix (UNG) 2×RealStar Power 染料法 qPCR 预混液 (UNG)	A312-01	1.1 ml	343	
	A312-05	1.1 ml×5	1544	
	A312-10	1.1 ml×10	2742	

明星产品推荐：

2×RealStar Fast 染料法 qPCR 预混液 (UNG, 低背景)(Cat#A302LD)

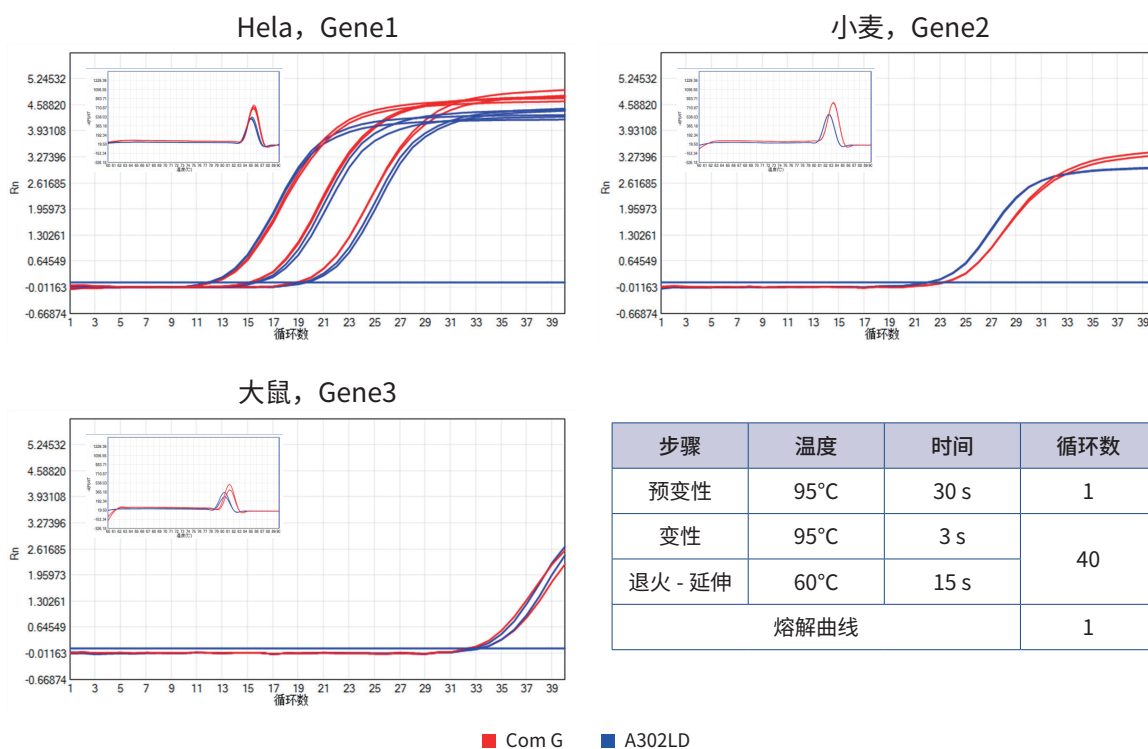
- ◆ **扩增能力强：**适用于染料法荧光定量 PCR 检测，灵敏度高。
- ◆ **适用范围广：**适用于各种类型模板的扩增。
- ◆ **防污染体系：**含有 dUTP/UNG 防污染系统，可有效防止气溶胶污染。
- ◆ **低背景残留：**可对微生物序列高灵敏度检出，有效减少非特异性扩增和假阳性 PCR 产物。

▶ 16S 检测 (E.coli 残留验证)



以 E.coli gDNA/ 无菌水为模板，使用 GenStar A302LD、Com G、Com V1、Com V2，同时进行 qPCR 检测。
GenStar A302LD 较 Com G、Com V1、Com V2，阴性检测的 C_T 值更低，更适用于大肠杆菌等细菌样品的 qPCR 检测。

▶ 快速程序测试

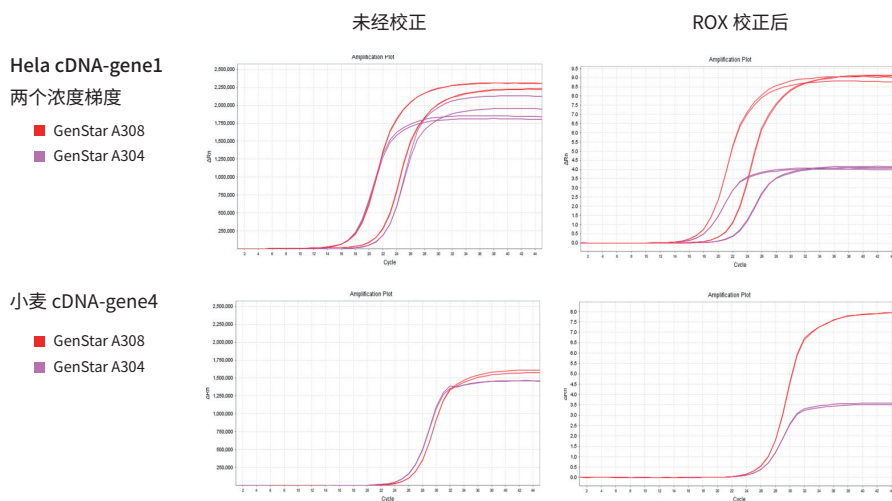


以不同样品 cDNA 为模板，使用 GenStar A302LD 和 Com G，以快速扩增程序同时进行 qPCR 检测。
GenStar A302LD 和 Com G 相当，适用于进行快速扩增，且扩增效果良好。

明星产品推荐：2×RealStar 通用染料法 qPCR 预混液 (Cat#A308)

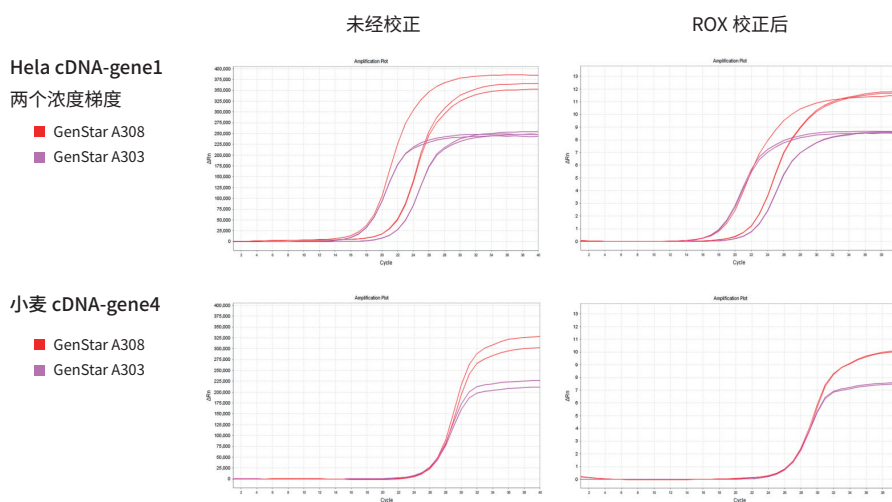
- ◆ **通用性强**：通用 ROX，可适用于所有 qPCR 仪器
- ◆ **扩增性能优**：采用 Fast 热启动 *Taq* DNA 聚合酶，扩增效率更高、特异性、灵敏度高
- ◆ **性价比高**：染料法，使用方便，性价比高、降低实验成本

▶ 仪器验证：ABI 7500 (Low ROX)



▶ 分别以 Hela cDNA 和小麦 cDNA 为检测样品，同时使用 GenStar A308 和 A304 进行 qPCR 扩增。经验证，A308 和 A304 在 Low ROX 适用仪器上可进行校正。

▶ 仪器验证：ABI StepOne (High ROX)



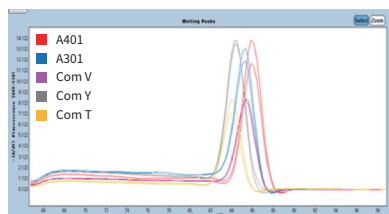
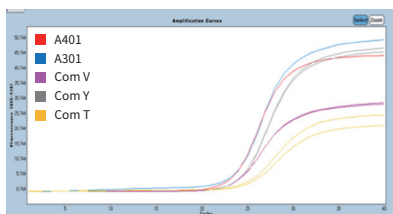
▶ 分别以 Hela cDNA 和小麦 cDNA 为检测样品，同时使用 GenStar A308 和 A303 进行 qPCR 扩增。经验证，A308 和 A303 在 High ROX 适用仪器上可进行校正。

明星产品推荐：2×RealStar Fast pro 染料法 qPCR 预混液 (Cat#A401)

- ◆ **模板兼容性广**：可兼容常规模板、低表达水平基因的检测，尤其适用于 GC-Rich 片段的检测
- ◆ **扩增性能优**：采用抗体法修饰的热启动 *Taq* DNA 聚合酶，扩增速度快、灵敏度高、特异性强
- ◆ **程序兼容性强**：适用于标准程序和快速程序进行扩增

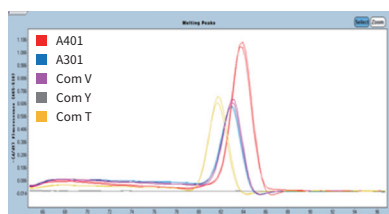
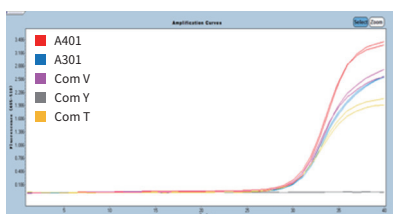
▶ 适用不同表达水平的基因扩增

常用内参基因 (ACTB)
模板：小鼠 cDNA



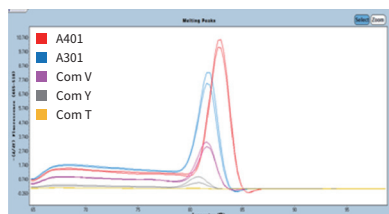
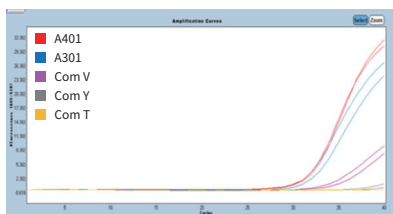
品牌	Ct mean
GenStar A401	22.98
GenStar A301	23.43
Com V	23.25
Com Y	23.99
Com T	24.87

低表达基因 (aSMA)
模板：小鼠 cDNA



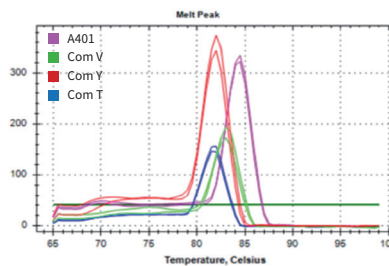
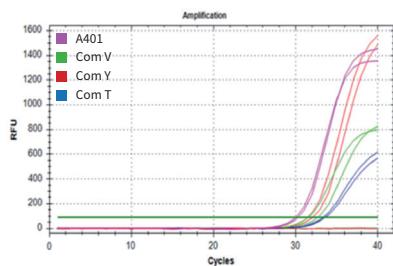
品牌	Ct mean
GenStar A401	30.51
GenStar A301	30.19
Com V	30.12
Com Y	-
Com T	29.18

低表达基因 (Notch)
模板：小鼠 cDNA



品牌	Ct mean
GenStar A401	31.74
GenStar A301	31.70
Com V	34.8
Com Y	35
Com T	-

低表达基因 (radph)
模板：小麦 cDNA



品牌	Ct mean
GenStar A401	29.91
Com V	30.84
Com Y	30.47
Com T	32.75

以小鼠、小麦 cDNA 为模板进行不同表达水平基因的 qPCR 检测。结果显示，GenStar A401 扩增效果与 GenStarA301 相当，且扩增性能优于 Com V、Com Y、Com T。

02 / 探针法 qPCR Mix

探针法 qPCR 在反应体系中加入特异性结合目标序列的荧光探针，特异性强、准确性高。除此之外，还可以应用于多重 qRT-PCR，在同一反应体系中使用不同的荧光基团标记的探针，同时检测多种靶标。

Fast qPCR Mix (探针法)

产品名称	货号	规格	目录价 (¥)	特点
2×RealStar Fast Probe Mix 2×RealStar Fast 探针法 qPCR 预混液	A351-01	1.1 ml	188	• 抗体修饰热启动 DNA 聚合酶，灵敏度高，适合低拷贝基因
	A351-05	1.1 ml×5	799	
	A351-10	1.1 ml×10	1508	
2×RealStar Fast Probe Mix (UNG) 2×RealStar Fast 探针法 qPCR 预混液 (UNG)	A352-01	1.1 ml	343	• UNG 防污染 • 抗体修饰热启动 DNA 聚合酶，灵敏度高，适合低拷贝基因
	A352-05	1.1 ml×5	1544	
	A352-10	1.1 ml×10	2742	

Power qPCR Mix (探针法)

产品名称	货号	规格	目录价 (¥)	特点
2×RealStar Power Probe Mix 2×RealStar Power 探针法 qPCR 预混液	A361-01	1.1 ml	188	• 化学修饰热启动 DNA 聚合酶，特异性更强
	A361-05	1.1 ml×5	799	
	A361-10	1.1 ml×10	1508	
2×RealStar Power Probe Mix (UNG) 2×RealStar Power 探针法 qPCR 预混液 (UNG)	A362-01	1.1 ml	343	• UNG 防污染 • 化学修饰热启动 DNA 聚合酶，特异性更强
	A362-05	1.1 ml×5	1544	
	A362-10	1.1 ml×10	2742	

多重 qPCR Mix (探针法)

产品名称	货号	规格	目录价 (¥)	特点
2×Multiplex Fast Probe Mix (UNG) 2×Multiplex Fast 探针法 qPCR 预混液 (UNG)	A392-01	1.1 ml	368	• 多重检测 • 抗体修饰热启动 DNA 聚合酶，灵敏度高
	A392-10	1.1 ml×10	2998	
	A392-100	1.1 ml×100	26998	
2×Taq Pro Multiplex Probe Mix (UNG, Low DNA) 2×Taq Pro Multiplex 探针法 qPCR 预混液 (UNG, 低背景)	A394LD-01	1.1 ml	368	• 多重检测 • UNG 防污染，低背景 • 高度纯化、抗干扰的热启动 DNA 聚合酶特异性强、灵敏度高 • 高 GC 模板扩增能力强、杂质耐受性好
	A394LD-10	1.1 ml×10	2998	
	A394LD-100	1.1 ml×100	26998	

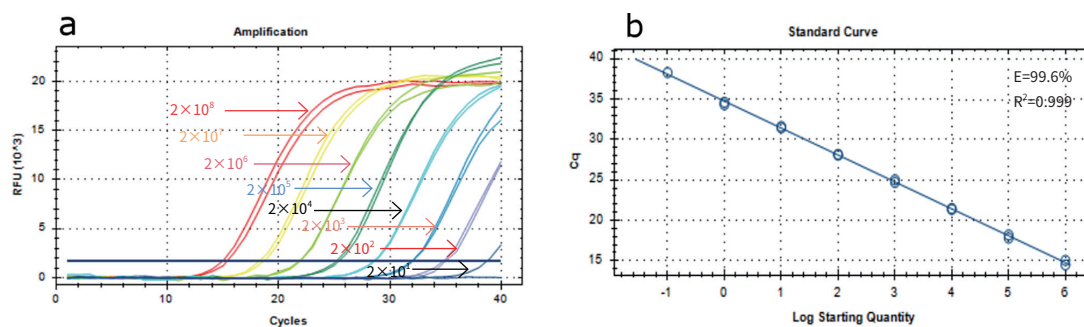
甲基化 qPCR Mix (探针法)

产品名称	货号	规格	目录价 (¥)	特点
2×RealStar MethyLight qPCR Mix 2×RealStar 甲基化 qPCR 预混液	A371-01	1.1 ml	398	• TaqMan 探针法甲基化 qPCR Mix, 适用于亚硫酸盐处理的 DNA • 优化的体系，扩增稳、效率高 • 检测灵敏特异，结果重复性好
	A371-10	1.1 ml×10	3198	

明星产品推荐：2× Multiplex Fast 探针法 qPCR 预混液 (UNG) (Cat#A392)

- ◆ **多重检测**：单个反应体系中，可检测多个靶标
- ◆ **扩增性能好**：扩增效率高、灵敏度高、结果重复性好
- ◆ **特异性好**：探针特异性结合靶标序列，检测结果更准确
- ◆ **广泛的兼容性**：可兼容极其宽泛的产物 GC 含量和引物 Tm 值
- ◆ **防污染系统**：试剂中加入 dUTP/UDG 防污染系统，可消除气溶胶等污染对 qPCR 的影响

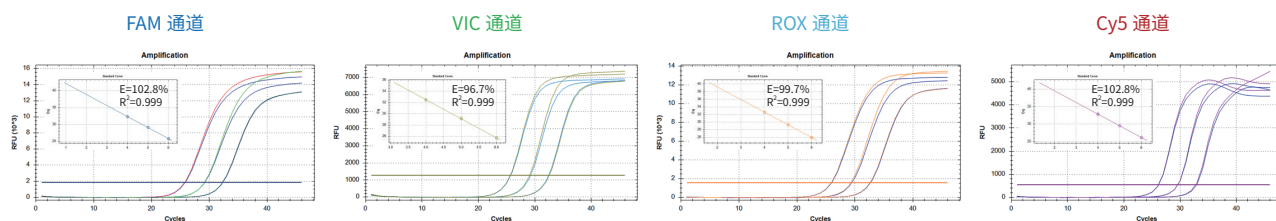
▶ 优异的灵敏度



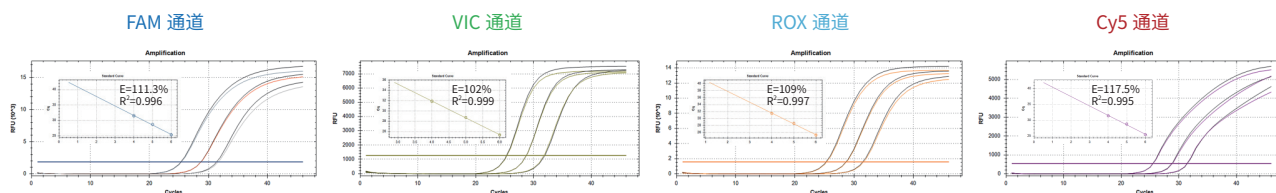
对浓度范围为 $2 \times 10^1 \sim 2 \times 10^8$ copies/μl 的某 DNA 病毒阳性质粒，用 A392 进行 qPCR 检测，结果显示，A392 灵敏度高，最低检测限可达 20 copies/μl，且扩增效率高

▶ A392 扩增效率优于同类产品

A392



Com V



A392 与同类产品 Com V 同时进行四重 qPCR 检测，结果显示，四通道检测结果均表现良好，尤其 FAM、Cy5、ROX 通道扩增效率优于 Com V，VIC 通道与 Com V 相当

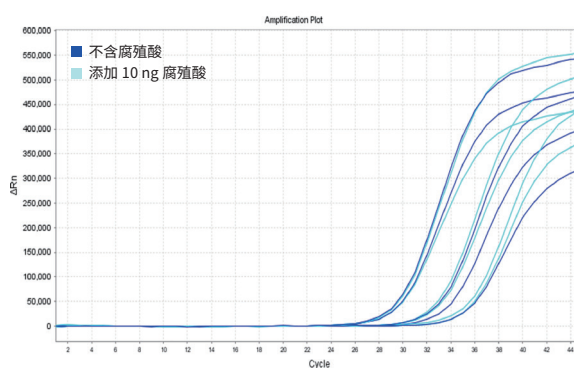
明星产品推荐：

2×Taq Pro Multiplex 探针法 qPCR 预混液 (UNG, 低背景)(Cat#A394LD)

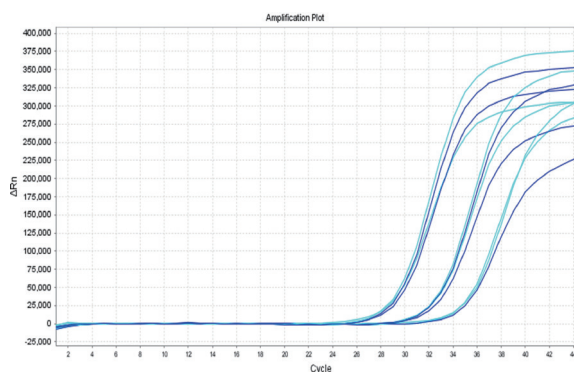
- ◆ 多重荧光定量 PCR 检测，扩增线性范围宽
- ◆ 含有 dUTP/UNG 防污染系统，可有效防止气溶胶污染
- ◆ 抗干扰能力强，杂质耐受性高
- ◆ 扩增能力强，适用于高 GC 模板的扩增
- ◆ 可有效减少非特异性扩增和假阳性 PCR 产物，可对微生物序列高灵敏度检出

▶ 抗抑制剂能力强

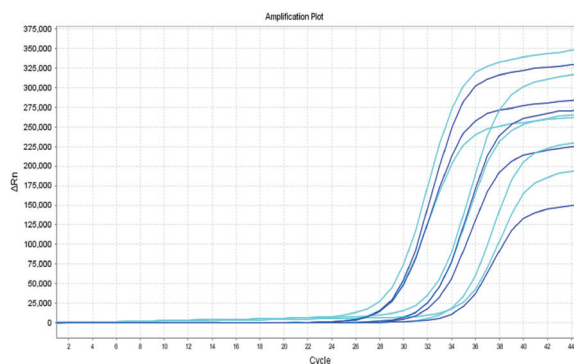
FAM 通道



VIC 通道



ROX 通道

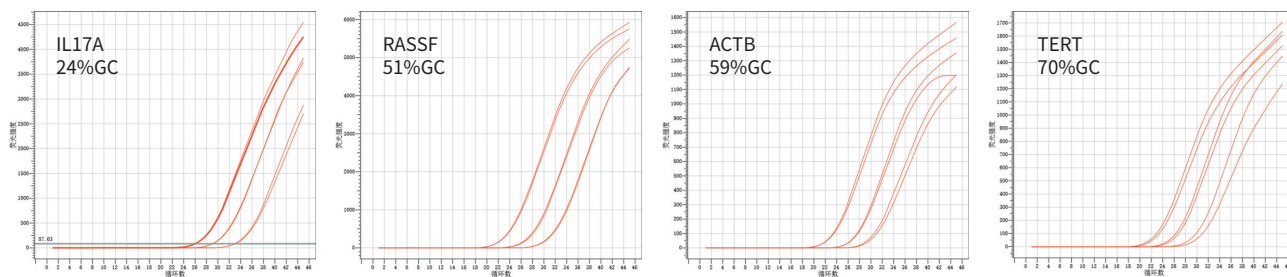


以不含腐殖酸、添加腐殖酸的非洲猪瘟病毒模拟样本为模板，使用 GenStar A394LD 进行探针法 qPCR 反应检测。结果显示，GenStar A394LD 在含腐殖酸等扩增抑制物的情况下，扩增效果几乎不受影响，抗抑制剂能力较强。

明星产品推荐： 2×RealStar 甲基化 qPCR 预混液 (Cat#A371)

- ◆ **扩增能力强：**适用于亚硫酸盐转化 DNA 模板甲基化 qPCR 检测，能够特异性检测亚硫酸盐转化后的位点，抗干扰能力强，扩增灵敏度高。
- ◆ **GC 兼容性强：**能够广泛兼容 GC 含量范围为 20%-70% 的各类模板，降低扩增偏好性对检测结果的影响。
- ◆ **适用样本范围广：**广泛适用不同来源的样本，如粪便、尿液、肺泡灌洗液、血液、脱落细胞等
- ◆ **稳定性强：**质量稳定，于 37°C 下放置 7 天，检测性能不受影响。

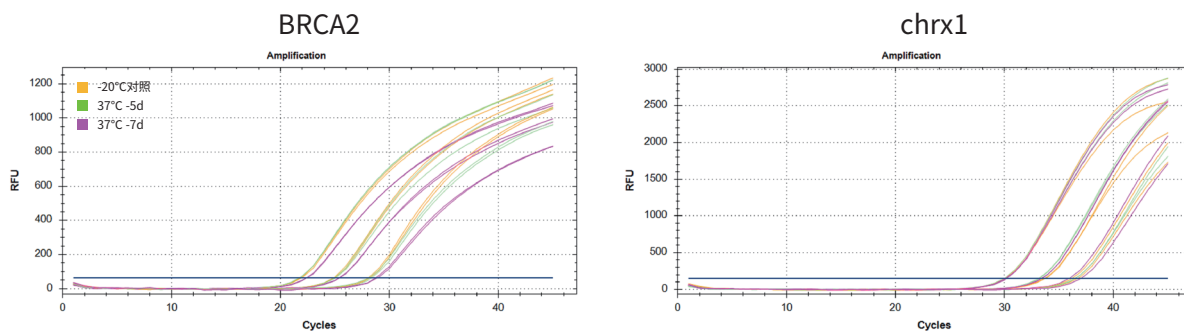
► GC 兼容性广



GenStar#A371								
模板	24% GC		51% GC		59% GC		70% GC	
50 ng	26.19	26.04	21.33	21.34	23.34	23.19	23.20	22.75
5 ng	29.27	29.38	25.54	25.74	27.44	27.55	26.13	26.61
0.5 ng	33.24	33.37	29.23	29.08	30.37	30.83	29.69	30.78

以亚硫酸盐转化后的 DNA 为模板 (50ng、5ng、0.5ng)，针对不同 GC 含量的片段 (24%-70%GC) 设计转化后引物，使用 GenStar A371 进行 qPCR 检测。结果显示，GenStar A371 能够广泛兼容 GC 含量范围为 20%-70% 的各类模板。

► 加速稳定性好



以亚硫酸盐转化后的 DNA 为模板 (40ng、4ng、0.4ng)，使用 -20°C 保存、37°C 放置 5 天、37°C 放置 7 天的 GenStar A371 同时进行 qPCR 检测，结果显示 GenStar A371 于 37°C 放置 7 天后，扩增效果基本无变化。

03 / 一步法 qRT-PCR

一步法 qRT-PCR 是将反转录和 PCR 融合，以 RNA 为模板，在同一反应体系中连续进行 RNA 反转录和荧光定量检测。简化实验操作步骤，降低加样误差，减少实验操作时间，并能有效防止污染。

一步法 qRT-PCR

产品名称	货号	规格	目录价 (¥)	特点
StarScript III One-Step qRT-PCR SYBR Kit	A333-01	100 rxn	579	• 染料法，性价比高 • 灵敏度高，适合 RNA 病毒等微量基因的检测
StarScript III 一步法 qRT-PCR 试剂盒 - 染料法	A333-10	1000 rxn	4626	
StarScript III One-Step qRT-PCR SYBR Kit (UNG)	A336-01	100 rxn	693	• 可选 UNG 防污染体系
StarScript III 一步法 qRT-PCR 试剂盒 - 染料法 (UNG)	A336-10	1000 rxn	5550	
StarScript III One-Step qRT-PCR Probe Kit	A334-01	100 rxn	579	• 探针法，特异性强 • 灵敏度高，适合 RNA 病毒等微量基因的检测
StarScript III 一步法 qRT-PCR 试剂盒 - 探针法	A334-10	1000 rxn	4626	
StarScript III One-Step qRT-PCR Probe Kit (UNG)	A338-01	100 rxn	693	• 可选 UNG 防污染体系
StarScript III 一步法 qRT-PCR 试剂盒 - 探针法 (UNG)	A338-10	1000 rxn	5550	

多重一步法 qRT-PCR

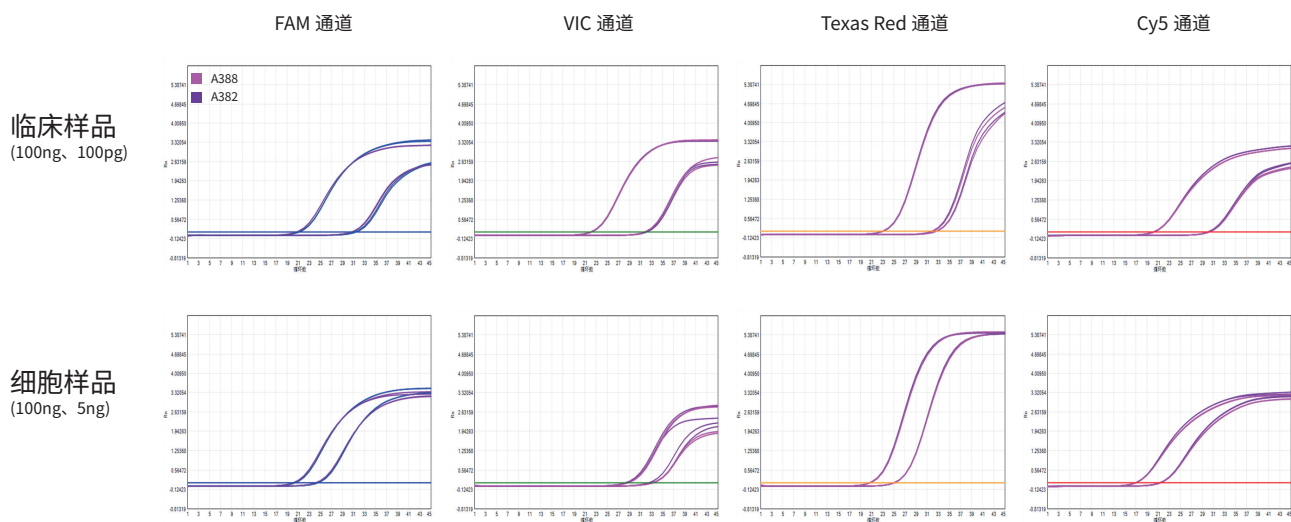
产品名称	货号	规格	目录价 (¥)	特点
2× Multiplex One-Step qRT-PCR Probe Mix (UNG)	A382-01	100 rxn	998	• UNG 防污染 • 多重检测 • 一管化设计，操作方便
2× Multiplex 一步法 qRT-PCR 探针法检测预混液 (UNG)	A382-10	1000 rxn	8968	
	A382-100	10000 rxn	80738	
5× Multiplex One-Step qRT-PCR Probe SuperMix (UNG)	A383-01	100 rxn	1298	• UNG 防污染 • 多重检测 • 一管化设计，操作方便 • 抗干扰能力强，灵敏度高，稳定性好
5× Multiplex 一步法 qRT-PCR 探针法检测超级预混液 (UNG)	A383-10	1000 rxn	11668	
	A383-100	10000 rxn	102668	
Multiplex One-Step qRT-PCR Probe Kit (UNG)	A388-01	100 rxn	998	• 多重检测 • 抗体修饰热启动 DNA 聚合酶，灵敏度高 • UNG 防污染
Multiplex 一步法 qRT-PCR 试剂盒 - 探针法 (UNG)	A388-10	1000 rxn	8968	
	A388-100	10000 rxn	80738	

明星产品推荐：

2×Multiplex 一步法 qRT-PCR 探针法检测预混液 (UNG) (Cat#A382)

- ◆ **简便快捷：**在同一反应体系中即可完成 cDNA 合成和多重 qPCR，简化实验操作
- ◆ **扩增效率高：**优化比例的逆转录酶和热启动酶，配合优化的反应体系，保证高效扩增
- ◆ **防污染：**采用热敏 UNG，可消除气溶胶对 qRT-PCR 的影响
- ◆ **一管多重：**兼容 1-4 重探针法荧光定量检测

► 某肿瘤基因检测，四重 RT-qPCR 反应



分别以临床样品和细胞样品为模板，进行一步法 qRT-PCR 反应，GenStar A382 与 GenStar A388 性能一致，检测效率相当。

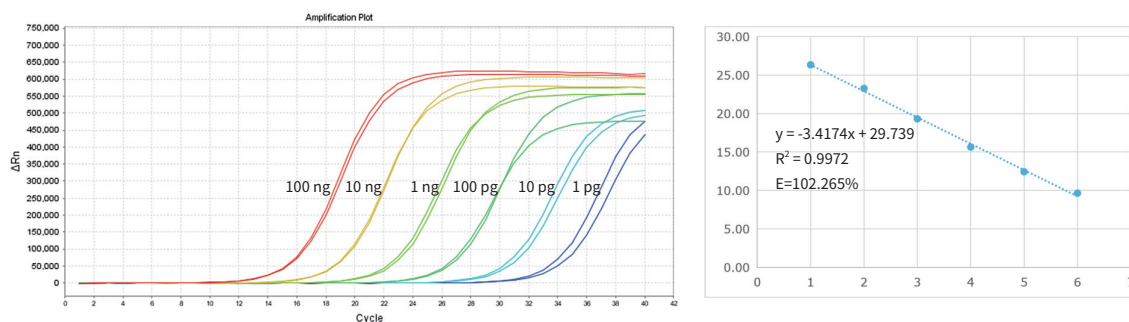


明星产品推荐：

Multiplex 一步法 qRT-PCR 试剂盒 - 探针法 (UNG) (Cat#A388)

- ◆ 简便快捷：在同一反应体系中即可完成 cDNA 合成和多重 qPCR，简化实验操作
- ◆ 一管多重：单个反应体系中检测多个靶标
- ◆ 扩增效率高：优化比例的逆转录酶和热启动酶，配合优化的缓冲体系，保证高效扩增
- ◆ 灵敏度高：灵敏度可达 1 pg 总 RNA 或 < 10 copies 的 RNA 模板
- ◆ 防污染系统：采用热敏 UNG，可消除气溶胶等污染对 qRT-PCR 的影响

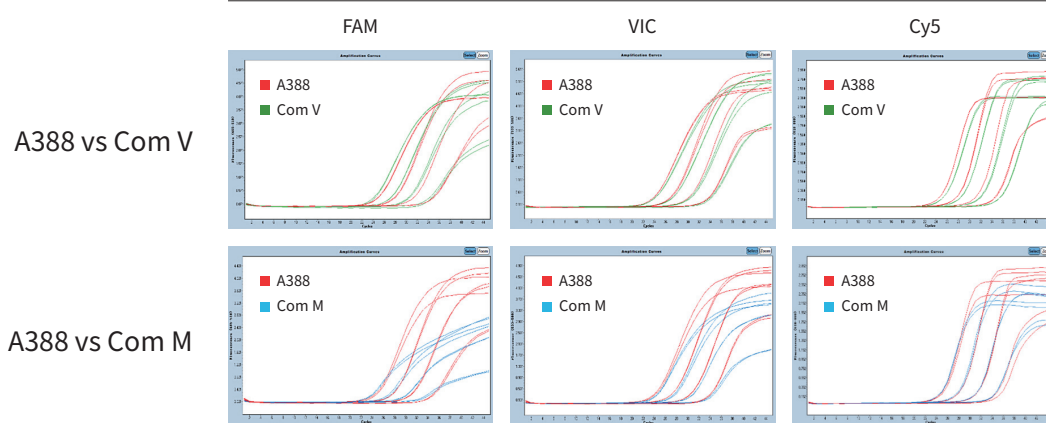
▶ 优异的灵敏度



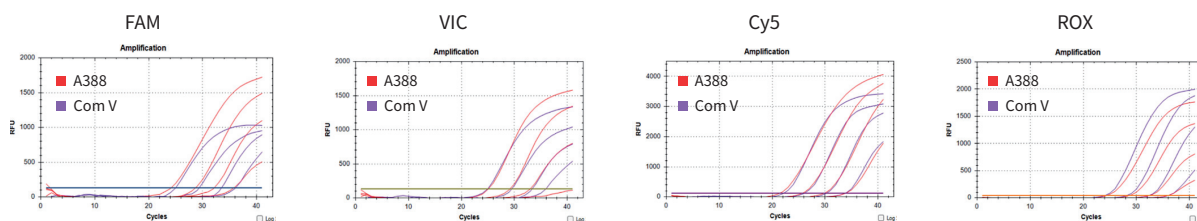
以 100 ng、10 ng、1 ng、100 pg、10 pg、1 pg 的小鼠 RNA 为模板，使用 A388 进行检测。结果显示，A388 检测下限可达 1 pg，且扩增效率高

▶ A388 与 Com V、Com M 对不同病毒 RNA 检测效果对比测试

COV19 检测



FluAB 检测



以不同浓度的 COV19 和 FluAB 为模板，分别用 A388、Com V 和 Com M 进行检测。结果显示，A388、Com V 和 Com M 扩增效果相当，A388 扩增曲线和荧光强度优于 Com M

04 / qPCR 配套

产品名称	货号	规格	目录价 (¥)
High ROX Reference Dye 高浓度 ROX 参比染料	A320-01	44 μ l	38
	A320-05	220 μ l	68
	A320-10	440 μ l	98
Low ROX Reference Dye 低浓度 ROX 参比染料	A321-01	44 μ l	38
	A321-05	220 μ l	68
	A321-10	440 μ l	98
High & Low ROX Reference Dye 高 & 低浓度 ROX 参比染料	A322-01	44 μ l \times 2	68
	A322-05	220 μ l \times 2	98
	A322-10	440 μ l \times 2	168



附录：代表性文献 (近 5 年, IF \geq 10)

1. Jincai Shi, Boyu Zhao, Shuang Zheng, et al. A phosphate starvation response-centered network regulates mycorrhizal symbiosis. *CELL*. 2021 October; 184(22):5527-5540. **IF=41.584**
2. Song Runjie, Ma Shuoqian, Xu Jiajia, et al. A novel polypeptide encoded by the circular RNA ZKSCAN1 suppresses HCC via degradation of mTOR. *Molecular Cancer*. 2023 January, 22:16. **IF=41.444**
3. Zhu Qiong, Fu Yesheng, Cui Chun-Ping, et al. OTUB1 promotes osteoblastic bone formation through stabilizing FGFR2. *Signal Transduction and Targeted Therapy*. 2023 April, 142. **IF=38.104**
4. Yang Bo, Liu Chao, Ju Xiaohui, et al. A tissue specific-infection mouse model of SARS-CoV-2. *Cell Discovery*. 2023 April, 9(43). **IF=38.079**
5. Jun Wu, Gen Li, Le Li, et al. Asparagine enhances LCK signalling to potentiate CD8 + T-cell activation and anti-tumour responses. *NATURE CELL BIOLOGY*. 2021 January, 23: 75–86. **IF=28.824**
6. Li, Yuan, Xia, Linjian, Tan, Kaifen, et al. N⁶-Methyladenosine co-transcriptionally directs the demethylation of histone H3K9me2. *NATURE GENETICS*. 2020 August, 52: 870-877. **IF=27.605**
7. Qing Wu, Xianyi Liang, Kai Wang, et al. Intestinal hypoxia-inducible factor 2 α regulates lactate levels to shape the gut microbiome and alter thermogenesis. *Cell Metabolism*. 2021 October, 33(10): 1988-2003. **IF=27.287**
8. Zhi Minglei, Zhang Jinying, Tang Qianzi, et al. Generation and characterization of stable pig pregastrulation epiblast stem cell lines. *CELL RESEARCH*. 2022, 32: 383-400. **IF=25.617**
9. Feifei Zuo, Junyi Jiang, Haipeng Fu, et al. A TRIM66/DAX1/Dux axis suppresses the totipotent 2-cell-like state in murine embryonic stem cells. *Cell Stem Cell*. 2022 June, 29(6):948-961. **IF=24.633**
10. Sun Ye, Yan Kun, Wang Yi, et al. Context-dependent tumor-suppressive BMP signaling in diffuse intrinsic pontine glioma regulates stemness through epigenetic regulation of CXXC5. *Nature Cancer*. 2022 August, 3: 1105-1122. **IF=23.177**
11. Fanqi Hu, Zian Pan, Chao Liu, et al. Identification of inflammatory regulation roles of thalidomide/ruxolitinib in nucleus pulposus and construction of polyelectrolyte nanocomplexes-impregnated injectable hydrogels for synergistic intervertebral disk degeneration treatment. *Nano Today*. 2022 June, 44: 101462. **IF=20.722**
12. Zhao Tianyuan, Deng Haoyuan, Li Jianwei, et al. A Smart MMP13-Responsive Injectable Hydrogel with Inflammatory Diagnostic Logic and Multiphase Therapeutic Ability to Orchestrate Cartilage Regeneration. *ADVANCED FUNCTIONAL MATERIALS*. 2023 April, 33(16): 2213019. **IF=19.924**
13. Ming Qi, Shuran Fan, Maohua Huang, et al. Targeting FAP α -expressing hepatic stellate cells overcomes resistance to anti-angiogenics in colorectal cancer liver metastasis models. *JOURNAL OF CLINICAL INVESTIGATION*. 2022;132(19):e157399. **IF=19.456**
14. Xin Zhou, Rui Zhao, Mengfei Lv, et al. CSL4 promotes microglia-mediated neuroinflammation by regulating lipid metabolism and VGLL4 expression. *BRAIN BEHAVIOR AND IMMUNITY*. 2023 March, 109: 331-343. **IF=19.227**
15. Shi WenTao, Zhang Biliang, Li MengLin, et al. The convergent xenogeneic silencer MucR predisposes α -proteobacteria to integrate AT-rich symbiosis genes. *NUCLEIC ACIDS RESEARCH*. 2022 August, 50(15): 8580-8598. **IF=19.16**
16. Jiang Yang, Tai Wang, Lina Zhao, et al. Gold/alpha-lactalbumin nanoprobe for the imaging and treatment of breast cancer. *Nature Biomedical Engineering*. 2020 July, 4: 686-703. **IF=18.952**
17. Wu MengLi, Liu FengLiang, Sun Jing, et al. SARS-CoV-2-triggered mast cell rapid degranulation induces alveolar epithelial inflammation and lung injury. *Signal Transduction and Targeted Therapy*. 2021 December, 6: 428. **IF=18.187**
18. Chunhua Zhao, Zekun Liu, Chia-Che Chang, et al. Near-Infrared Phototheranostic Iron Pyrite Nanocrystals Simultaneously Induce Dual Cell Death Pathways via Enhanced Fenton Reactions in Triple-Negative Breast Cancer. *ACS Nano*. 2023, 17, 5, 4261-4278. **IF=18.027**
19. Shiyue Hou, Tiange Shao, Tianyang Mao, et al. Virtual memory T cells orchestrate extralymphoid responses conducive to resident memory. *Science Immunology*. 2021 August, 6(62). **IF=17.727**
20. Jin Shouheng, He Xing, Ma Ling, et al. Suppression of ACE2 SUMOylation protects against SARS-CoV-2 infection through TOLLIP-mediated selective autophagy. *Nature Communications*. 2022 September, 13: 5204. **IF=17.694**
21. Han Liu, Yuefeng Liu, He Wang, et al. Geometric Constraints Regulate Energy Metabolism and Cellular Contractility in Vascular Smooth Muscle Cells by Coordinating Mitochondrial DNA Methylation. *Advanced Science*. 2022 September, 9(32): 2203995. **IF=17.521**
22. Peng Cao, Changmao Chen, An Liu, et al. Early-life inflammation promotes depressive symptoms in adolescence via microglial engulfment of dendritic spines. *NEURON*. 2021 August, 109(16): 2573-2589. **IF=17.173**
23. Wang Zhongyan, Aweya Jude Juventus, Yao Defu, et al. Taurine metabolism is modulated in Vibrio-infected Penaeus vannamei to shape shrimp antibacterial response and survival. *Microbiome*. 2022 December, 213. **IF=16.837**
24. Tianzhi Jin, Yajing Wang, Shun Yao, et al. Bioconversion of carbon dioxide to succinate by Citrobacter. *CHEMICAL ENGINEERING JOURNAL*. 2023 January, 452,4: 139668. **IF=16.744**
25. Feng Yuanqing, Xu Hongzhan, Liu Jinghao, et al. Functional and Adaptive Significance of Promoter Mutations That Affect Divergent Myocardial Expressions of TRIM72 in Primates. *Molecular Biology and Evolution*. 2021 July, 38(7): 2930-2945. **IF=16.24**
26. Weihong Xie, Shuo Tian, Jiahui Yang, et al. OTUD7B deubiquitinates SQSTM1/p62 and promotes IRF3 degradation to regulate antiviral immunity. *Autophagy*. 2022 January: 2288-2302. **IF=16.016**
27. Yuhan Chen, Lu Jiansen, Xu Yanwen, et al. The chemical reprogramming of unipotent adult germ cells towards authentic pluripotency and de novo establishment of imprinting. *Protein & Cell*. 2023 July, 14(7): 477-496. **IF=15.328**
28. Anjun Jiao, Chenming Sun, Xin Wang, et al. DEXD/H-box helicase 9 intrinsically controls CD8⁺ T cell-mediated antiviral response through noncanonical mechanisms. *Science Advances*. 2022 February, 8(6). **IF=14.957**
29. Liwei Fu, Pinxue Li, Junyao Zhu, et al. Tetrahedral framework nucleic acids promote the biological functions and related mechanism of synovium-derived mesenchymal stem cells and show improved articular cartilage regeneration activity in situ. *Bioactive Materials*. 2022 March, 9: 411-427. **IF=14.593**



北京康润诚业生物科技有限公司

Add: 北京市昌平区中关村生命科学园生命园路8号院一区9号楼A座5层

Tel: 400-666-3332

E-mail: tech.service@gene-star.com

Web: www.gene-star.com